

Г. П. ВЕЧКАНОВ

**КОРРЕКЦИЯ ДИНАМИЧЕСКИХ ОШИБОК ПРИ КВАНТОВАНИИ  
ФАЗЫ ПАРАМЕТРИЧЕСКИМ ГЕНЕРАТОРОМ**

При квантовании фазы параметрическим генератором возникают статические и динамические погрешности.

Статические погрешности определяются шумами, нелинейностью и температурной зависимостью элементов схемы. Динамические ошибки возникают в случае, когда частота фазирующего сигнала отлична от половины частоты подкачки.

На рис. 1 представлена схема параметрического генератора с нелинейной емкостью  $p$ - $n$  перехода.

При составлении дифференциального уравнения воспользуемся разложением вольт-кулоновой характеристики  $q(u)$  и тока проводимости  $i(u)$  и  $p$ - $n$  перехода по степеням  $u$ . Ограничиваясь в разложении  $q(u)$  и  $i(u)$  тремя первыми членами, получаем:

$$q(u) = C_0 u + \sigma_1 u^2 + \sigma_2 u^3; \quad i(u) = g_0 u + \gamma_1 u^2 + \gamma_2 u^3.$$

В этом случае дифференциальное уравнение параметрического генератора имеет вид:

$$\frac{1}{\Omega^2} \frac{d^2 u}{dt^2} + \frac{\delta_k}{\Omega} \frac{du}{dt} + u = - \left( L_k \frac{d}{dt} + r_k \right) \times \\ \times \left[ \frac{d}{dt} (\sigma_1 u^2 + \sigma_2 u^3) + \gamma_1 u^2 + \gamma_2 u^3 - i_1 - i_c \right], \quad (1)$$

где  $\Omega$  и  $\delta_k$  — собственная частота и затухание невозбужденного контура;

$u$  — переменная составляющая напряжения на контуре;

$L_k$  и  $r_k$  — параметры индуктивности контура;

$i_1 = I_1 \sin \omega t$  — ток подкачки;  
 $i_c = I_c \cos \left[ \left( \frac{\omega}{2} + \nu \right) t + \varphi_c \right]$  — ток фазирующего сигнала.

Уравнение решается методом медленно меняющихся амплитуд. Решение уравнения ищется в виде суммы двух гармоник:

$$u = u_1 + u_2 = A_1 \bar{\cos}(\omega t + \varphi_1) + A_2 \cos\left(\frac{\omega}{2} t + \varphi_2\right). \quad (2)$$

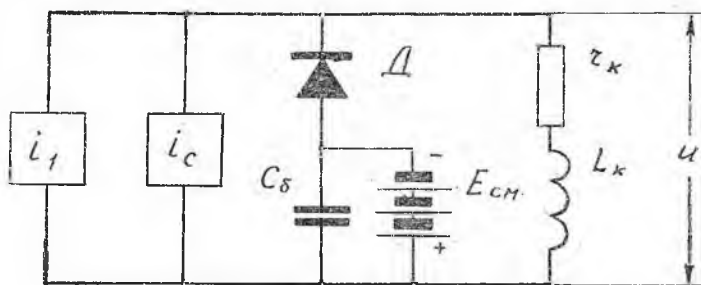


Рис. 1. Схема одноконтурного параметрического генератора

Подставляя (2) в (1) и пренебрегая рядом членов, пользуясь обычными для этого метода оценками малости [1, 2], получаем два укороченных дифференциальных уравнения первого порядка. В плоскости переменных Ван дер Поля  $A_c = A_2 \cos \varphi$ ;  $A_s = A_2 \sin \varphi$  они имеют вид:

$$\begin{aligned} \frac{dA_c}{d\tau} &= (m - \delta) A_c + \xi A_s + \sigma A_s (A_c^2 + A_s^2) + \lambda \cos(\zeta\tau + B), \\ \frac{dA_s}{d\tau} &= -(m + \delta) A_s - \xi A_c - \sigma A_c (A_c^2 + A_s^2) - \lambda \sin(\zeta\tau + B), \end{aligned} \quad (3)$$

где  $\tau = \frac{\Omega}{2} t$  — безразмерное время;

$\delta = \delta_k + \frac{3\gamma_2}{2\Omega C} A_1^2$  — затухание контура при включенной подкачке;

$\varphi = \varphi_2 + \frac{\pi}{4} + \frac{\psi}{2}$ , где  $\psi = \text{arctg} \frac{\gamma_1}{\sigma_1 \Omega}$ ;

$\xi = \xi_0 + \frac{3}{2} \frac{\sigma_2 A_1^2}{C}$  — расстройка контура относительно половины частоты подкачки;

$C$  — емкость контура;

$m = \frac{\sigma_1 A_1}{C \cos \psi}$  — коэффициент модуляции емкости;

$\sigma = \frac{3}{4} \frac{\sigma_2}{C}$  — приведенный коэффициент нелинейности емкости;

$\lambda = I_c \Omega L_k \left(1 + \frac{2\nu}{\Omega}\right)$  — амплитуда напряжения внешнего фазирующего сигнала;

$\zeta = \frac{2\nu}{\Omega}$  — расстройка внешнего фазирующего сигнала;

$$B = \varphi_c + \frac{\psi}{2} - \frac{\pi}{4}.$$

На начальном этапе установления субгармонических колебаний при малых амплитудах фазирующего сигнала влиянием нелинейных членов в уравнениях (3) можно пренебречь. Систему линейных дифференциальных уравнений запишем в канонической форме:

$$\left. \begin{aligned} \frac{dY}{d\tau} &= -aY - \Lambda [\sin(\zeta\tau + B) + \alpha \cos(\zeta\tau + B)] \\ \frac{dX}{d\tau} &= bX + \Lambda [\cos(\zeta\tau + B) + \alpha \sin(\zeta\tau + B)] \end{aligned} \right\}, \quad (4)$$

где  $X + \alpha Y = A_c$ ;  $\alpha = -\frac{\xi}{m + \sqrt{m^2 - \xi^2}}$ ;  $\Lambda = \frac{\lambda}{1 - \alpha^2}$ ;

$\alpha X + Y = A_s$ ;

$$a = \sqrt{m^2 - \xi^2} + \delta; \quad b = \sqrt{m^2 - \xi^2} - \delta.$$

Решения системы (4) для переходного процесса установления субгармонических колебаний при нулевых начальных условиях имеют вид

$$\left. \begin{aligned} y &= \frac{\Lambda}{a^2 + \zeta^2} \cdot e^{-a\tau} [(a + \alpha\zeta) \sin B + (a\alpha - \zeta) \cos B] \\ x &= -\frac{\Lambda}{b^2 + \zeta^2} \cdot e^{b\tau} [(\zeta - \alpha b) \sin B - (b + \alpha\zeta) \cos B] \end{aligned} \right\}, \quad (5)$$

где  $x = \bar{X} - f_x(\tau)$ ;  $y = Y - f_y(\tau)$ .

Гармонические функции  $f_x(\tau)$  и  $f_y(\tau)$  не влияют на процесс различения фаз и из рассмотрения исключены.

В плоскости  $(x, y)$  ось  $y$  является сепаратрисой, а ось  $x$  — асимптотой.

Положение сепаратрисы на фазовой плоскости переменных  $A_s$ ;  $A_c$  определяется из условия  $x = 0$ .

$$\operatorname{tg} \eta = -\frac{\zeta - \alpha b}{b + \alpha\zeta}, \quad (6)$$

где  $\eta$  — угол отклонения сепаратрисы от  $\frac{\pi}{2}$  (динамическая ошибка).

Подставляя выражения для  $\alpha$ ,  $a$  и  $b$  в (6), получаем:

$$\operatorname{tg} \eta = -\frac{\zeta(m + \sqrt{m^2 - \xi^2}) + \xi(\sqrt{m^2 - \xi^2} - \delta)}{(\sqrt{m^2 - \xi^2} - \delta)(m + \sqrt{m^2 - \xi^2}) - \xi\zeta}. \quad (7)$$

При  $\xi = 0$ :  $\operatorname{tg} \eta = -\frac{\zeta}{m - \delta}$ .

Следовательно, при малых  $\eta$  динамическая ошибка прямо пропорциональна расстройке фазирующего сигнала  $\zeta$ . Эта ошибка может

быть скомпенсирована изменением расстройки контура  $\xi$  в зависимости от  $\zeta$ .

Действительно, при  $\zeta=0$ ;  $\operatorname{tg} \eta = -\frac{\xi}{m + \sqrt{m^2 - \xi^2}}$ , поэтому, изменяя  $\xi$  в сторону, противоположную изменению  $\zeta$ , в некоторой полосе частот отклонения  $\eta$  от нуля можно сделать достаточно малыми.

На рис. 2 приведена блок-схема коррекции динамических ошибок параметрического генератора.

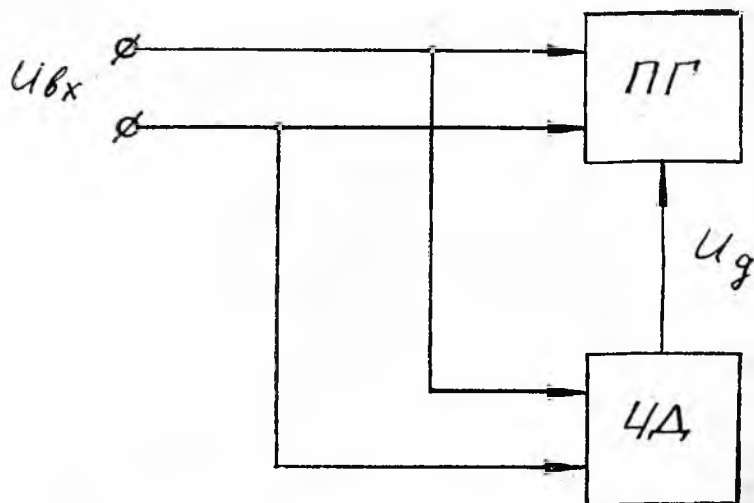


Рис. 2. Блок-схема коррекции динамических ошибок

Фазирующий сигнал  $u_{вх}$  подается параллельно на параметрический генератор ПГ и на вход частотного детектора ЧД. С выхода ЧД постоянное корректирующее напряжение  $u_d$  поступает в цепь смещения  $p$ - $n$  перехода нелинейной емкости контура параметрического генератора и расстраивает его пропорционально отклонению частоты фазирующего сигнала от половины частоты подстройки.

Рассмотрим случай линейной характеристики частотного детектора:

$$u_d = K\zeta. \quad (9)$$

Зависимость емкости  $p$ - $n$  перехода от напряжения, поданного на него, имеет вид [3]:

$$C(U) = C_d \sqrt{\frac{\varphi_k}{\varphi_k - U}},$$

где  $\varphi_k$  — контактная разность потенциалов;  $C_d$  — емкость при нулевом напряжении смещения;  $U = E + u_d$ ;  $E$  — постоянное смещение.

$$C(u_d) = C(U) - C(E) = C_0 \left( \frac{1}{\sqrt{1 - \frac{u_d}{u_0}}} - 1 \right),$$

где  $C_0 = C_d \sqrt{\frac{\varphi_k}{\varphi_k - E}}$  — статическая емкость диода.

$$u_0 = \varphi_k - E.$$

Расстройка контура параметрического генератора относительно половины частоты подкачки равна:

$$\xi = \left( \frac{\omega}{2\Omega} \right)^2 - 1.$$

Так как  $\Omega^2 = \frac{1}{L_k [C + C(u_d)]}$ , то  $\xi = \left[ \frac{\xi_0 + 1}{\sqrt{1 + u}} - 1 \right]$ . (9)

$$u = \frac{u_d}{u_0}.$$

Подставляя (8) в (9), получаем:

$$\xi = \left[ \frac{\xi_0 + 1}{\sqrt{1 - k^2}} - 1 \right], \quad (10)$$

где  $k = \frac{K}{u_0}$ .

Коэффициент  $k$  определяется из условия, что производная по  $\zeta$  от правой части выражения (7) при  $\zeta=0$  равна нулю.

$$k = - \frac{4 \sqrt{m^2 - \xi_0^2}}{(1 + \xi_0) (\sqrt{m^2 - \xi_0^2} - \delta)}. \quad (11)$$

На рис. 3 приведен график зависимости динамической ошибки  $\eta$  от  $\zeta$  при  $m=0,4$ ,  $\delta=0,02$ ,  $\xi_0=0$  (кривая 1). Коэффициент  $k$  определяется из выражения (11) и равен  $-4,21$ . Для сравнения приведена зависимость  $\eta$  от  $\zeta$  при  $k=0$  (линия 2).

Из графика видно, что коррекция с помощью линейного частотного детектора удовлетворительна только в узкой области расстройки  $\zeta$ . Если за допустимую динамическую ошибку принять  $\eta = \pm 0,05^\circ$ , то область допустимых расстроек  $\zeta$  равна  $\pm 0,013$  при постоянной в этом диапазоне  $\eta_{0\sigma} = 0,05^\circ$ .

Область удовлетворительной коррекции может быть значительно расширена при применении частотного детектора с нелинейной зависимостью выходного напряжения от частоты. В качестве критерия для определения параметров нелинейности выберем условие:

$$\xi = k_1 \zeta. \quad (12)$$

Приравнивая правые части выражений (9) и (12) и решая относительно  $u$ , получаем требуемую зависимость  $u$  от  $\zeta$ :

$$u = 1 - \frac{1}{(1 + k_1 \zeta)^2}. \quad (13)$$

Подставим (12) в (7) и определим  $k_1$  из условия

$$(\operatorname{tg} \eta)_{\zeta=0} = 0.$$

Тогда

$$k_1 = \frac{2M}{1 - M}, \quad (14)$$

где  $M = \frac{m}{\delta}$ .

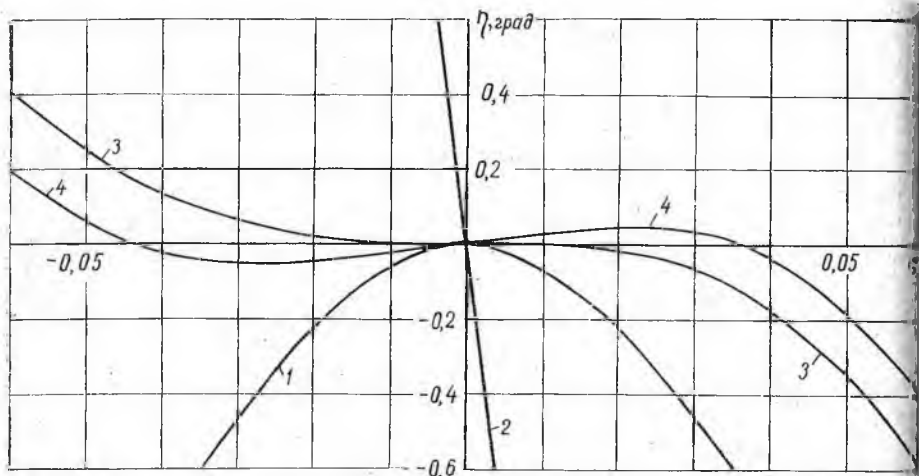


Рис. 3. График зависимостей динамической ошибки от расстройки

Подходящая нелинейность может быть получена при частотном детектировании на склоне резонансной характеристики одиночного колебательного контура. При условии, что амплитудный детектор линеен, получаем:

$$u = r \left[ \frac{1}{\sqrt{1 + Q^2 (\zeta - \zeta_0)^2}} - \frac{1}{\sqrt{1 + Q^2 \zeta_0^2}} \right], \quad (15)$$

где  $r$  — коэффициент передачи детектора;

$Q$  — добротность контура детектора;

$\zeta_0$  — начальная расстройка.

Параметры  $r$ ,  $Q$  и  $\zeta_0$  частотного детектора определяются из условия равенства первых трех производных по  $\zeta$  выражений (13) и (15) в точке  $\zeta=0$ .

В результате получено:

$$\left. \begin{aligned} \zeta_{0,2} &= \frac{3 \pm \sqrt{665}}{82k_1}; & Q &= \frac{1}{|\zeta_0|} \sqrt{\frac{1-3k_1\zeta_0}{2+3k_1\zeta_0}} \\ r &= 2k_1 \frac{[1+Q^2\zeta_0^2]^{3/2}}{Q^2\zeta_0} \end{aligned} \right\}, \quad (16)$$

где  $k_1$  определялось из выражения (14).

Для сравнения качества коррекции параметры  $m$  и  $\delta$  параметрического генератора выбраны те же, что и при коррекции линейным частотным детектором.

Зависимость динамической ошибки  $\eta$  от расстройки  $\zeta$  при коррекции с помощью нелинейного частотного детектора приведена на рис. 3 (кривая 3). Параметры частотного детектора рассчитывались по формулам (16) и при детектировании на левом склоне резонансной характеристики равны:  $\zeta_0=0,13$ ;  $Q=9,5$ ;  $r=-1,438$ .

Из сравнения кривых 1 и 3 видно, что при коррекции с выбранным типом нелинейности частотного детектора динамическая ошибка мало отличается от нуля в более широкой полосе расстройки  $\zeta$ , чем при коррекции линейным частотным детектором.

Если задана допустимая динамическая ошибка, например,  $\eta_d = \pm 0,05^\circ$ , то полоса удовлетворительной коррекции может быть расширена за счет увеличения коэффициента передачи частотного детектора  $r$ . На рис. 3 приведена кривая 4 зависимости  $\eta$  от  $\zeta$  при  $r = -1,46$ , для которой при  $\eta_d = \pm 0,05^\circ$  коррекция удовлетворительна в полосе расстроек  $\zeta = \pm 0,04$ , что примерно в три раза больше, чем при линейной коррекции.

#### ЛИТЕРАТУРА

1. Н. И. Боголюбов, Ю. А. Митропольский. Асимптотические методы в теории нелинейных колебаний. Физматгиз, М., 1963.
2. В. Каннингхэм. Введение в теорию нелинейных систем. Госэнергоиздат, М. 1962.
3. А. Е. Каплан, Ю. А. Кравцов, В. А. Рылов. Параметрические генераторы и делители частоты. «Сов. радио», М, 1966.